тде  $K_{l-1}$  — техническая категория дороги;  $I_{l-1}$  — интенсивность движения;  $H_{l-1}$  — лысота местности над уровнем моря;  $i_{l-j}$  — продольный уклон дорожной трассы.

Приведенная система уравнений полнее отражает основные условия выбора оптимального маршрута движения автомобиля, так как она учитывает условия минимизации тарифа за перспозки, а также максимальной производительности автомобильного подвижного состава, как по каждому звену модели в отдельности, так и в целом по всему маршруту движения.

Поступнае 10.Х.1969.

### ЛИТЕРАТУРА

- 1. Белов Д. А., Бобирынин В. А. Маршрутилация автомобильных перевозов. Изд. "Грансперт", 1965.
- 2. Агабабов А. Г. Критерий оптимальности автомобильных перевозок. "Промышленность Армении", № 2, 1969.
- 3. Форд Л. Фалькерсон Д. Потоки и сстях. Изл. "Мир", 1968.

## А. В. БЕЛУБЕКЯН

# ЭКСПЕРИМЕНТАЛЬНОЕ ИССЛЕДОВАНИЕ РАБОТЫ ПРЕДВАРИТЕЛЬНО НАПРЯЖЕННЫХ БАЛОК ИЗ ЛЕГКОГО БЕТОНА ПРИ ИЗГИБЕ С КРУЧЕНИЕМ

В Армянском НИИ стройматериалов и сооружений (АИСМ) и 1969 г. проводились испытания армированных балок прямоугольного сечения из легкого бетона при кручении и при совместном действии изгиба и кручения. Было испытано 10 предварительно напряженных балок сечением 16—24 см, длипой 300 см и для сопоставления 4 аналогичные балки с ненапряженной арматурой. Эксперименты проводились на специальном стенде, позволяющем испытывать балки на чистое кручение, а также на нагиб с кручением [1].

Продольное армирование балок — 4 2 12 мм из стали марки 35ГС (по одному стержию в каждом углу сечения); поперечное—замкнутые хомуты диаметром 6 мм из стали марки Ст-3 с пределом текучести 3100 кГ/см². Шаг хомутов на исследуемом участке балок, (100 см), принимался равным 10 см и 20 см. С целью предотвращения преждевременного разрушения опорных участков балок, шаг хомутов на этих участках был учащен и принимался равным 6 см. Предварительно напряженные балки изготовлялись на открытом стенде экспериментального полигона АИСМ. Натяжение армитуры производилось гидравлическим домкратом с передачей усилия на упоры. Механическим упрочнением предел текучести стали был понышен с 4070 кГ/смг до 6060 кГ/смг. Балки изготовлялись в металлических формах и были распалублены на третьи сутки, после чего до момента

испытания хранились по влажных условиях. Бетон, объемным весом около 1750  $\kappa_1/M^3$ , для всех балок приготовлялся на литоидной пемзе 121. В качестве вяжущего использовался портландцемент Араратского завода активностью 500  $\kappa F/c_M$ . Прочностные характеристики бетона определялись испытанием бетонных кубов с размером ребер 15  $c_M$ . Предел прочности бетона на разрыв  $R_p$  определялся путем раскола бетонных призм размерами  $10 \times 10$  40  $c_M$ . Механические характеристики балок приведены в табл. 1.

Таблица 1 Механические характеристики испытанных балок

Номера балок	Шаг хомутов в иссле-	Прочность ботона (28-дися- наи), кГ/см <sup>2</sup>		13	Величина предвари- тельного попряжения, кваста 2		г грещинообразо- фактический) кГл	Разрушающие иоменты (фактические), кГ.м		
		Корвая	па рез м R2	Hperon tery Annun a m	в арматуре	N etoue	Момент грещ выня (флити Мкр. р. иГ.ч	кр иди	изгибающий Ми	$s = \frac{M_{\rm Q}}{M_{\rm a}}$
60H-1 60H-2° 60H-3 60H-4 60H-5° 60H-6 60H-7 60H-9 60H-9 60H-11 60H-11 60H-13° 60H-14*	10 10 10 10 10 10 10 10 10 20 20	270 270 270 270 305 316 316 255 255 255 255 270 270	14.2 14.2 14.2 15.0 15,1 15,1 14,1 14,1 14,1 14,1 14,1 14,2 14,2	6060 6060 6060 6060 6060 6060 6060 606	4390 0 4390 0 4390 0 4390 4390 4390 4390	51.2 0 51.2 51.2 51.2 51.1 51.1 51.1 51.1	690 330 690 375 555 420 555 600 600 690 690 330 330	1050 645 1050 0 690 690 555 735 780 825 780 780 960 960	0 0 0 2900 0 2300 2780 2100 1950 1650 0 0	0,30 0,30 0,20 0,35 0,40 0,50

С венапряженной орматурой.

Передача усилий на бетон в предварительно напряженных балках осуществлялась на 20 сутки с момента бетонирования, когда кубиковая прочность бетона составляла 70—75% от проектной прочпости. Предварительное напряжение верхней и нижней арматуры было одинаковое и поэтому бетон был центрально обжат.

Нагружение балок на степде осуществлялось ступенями, равными 0,1  $M_{\text{кр. p.}}$  и 0,1  $M_{\text{и. p.}}$  ( $M_{\text{кр. p.}}$  и  $M_{\text{п. p.}}$ —соответственно ожидаемые разрушающие крутящий и изгибающий моменты), с передачей на балку сперва изгибающего, а затем крутящего моментов. Вслед за этим брались отсчеты по всем приборам и после 15 минутной выдержки нагружки осуществлялась следующая ступень нагружения. С целью более точного определения несущей способности балок в стадии, близкой к разрушению, величина ступеней нагружения уменьшалась вдное. Деформации бетона и арматуры измерялись при помощи датчиков сопротивления, причем датчики, наклеенные на ар-

матуру, были гидроизолированы. Показания датчиков регистрировалися прибором АИ-1. Прогибы балок и углы закручивания сечений измерялись прогибомерами ПАО-6.

Первые трещины при кручении позникали на боковых гранях балок примерно на уровне их продольной оси. По мере роста нагрузки трещина, развиваясь, персходила на горизонтальные грани балки, образовыная винтообразную линию. Угол наклона трещин составлял в предпарительно напряженных балках 30—31 к продольной оси, а в ненапряженных 44-45. Результаты испытания на кручение четырех обычных и четырех предварительно напряженных балок приведены в табл. 1. По данным прямых измерений, величины напряжений в поверечной и продольной арматуре до момента трещинообразования были небольшие (рис. 1). После возникновения характерных спиральных

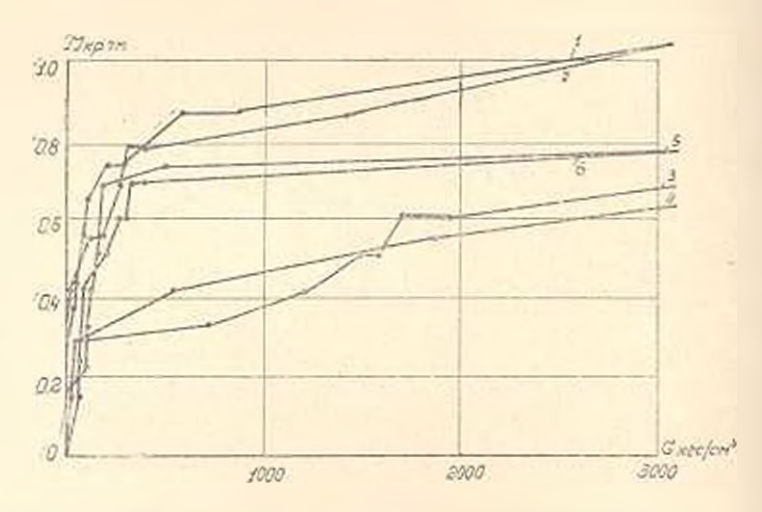


Рис. 1. Заинсимость между прутищими моментами и напряжевиями в хомутая при кручении билок.

1 Балки БПН — 1; 2 Болко БПН — 3; 3 — Билко БПН — 2;

4 - BOARS BITH - 5; 5 - BOARD BITH - 11; 6 - BOARD BITH - 12.

трещин напряжения в хомутах всех испытанцых балок достигали предела текучести. Напряжения в продольной арматуре как обычных, так и предварительно напряженных балок достигали 0,5-0,6 предела текучести. По данным табл. 1 нетрудно заметить, что преднарительное напряжение бетона интенсивностью 51 *кГ/см*: примерно вдвое повышает момент трещиностойкости балок при кручении.

Величины разрушающих крутящих и соответствующих изгибакщих моментов предварительно напряженных и ценапряженных балок даны и табл. 1. Параметр к представляет собой отношение крутящего момента к изгибающему. Результаты прямых измерений величин напряжений в продольной и поперечной арматуре балок, испытанных при совместном действии крутящих и изгибающих моментов, приведены на рисунках 2 и 3. В балке БПН 10, где величина крутящего момента была относительно велика (х = 0,5), в стадии, близкой к разрушению, наблюдалось резкое возрастацие папряжений и продольной ар-

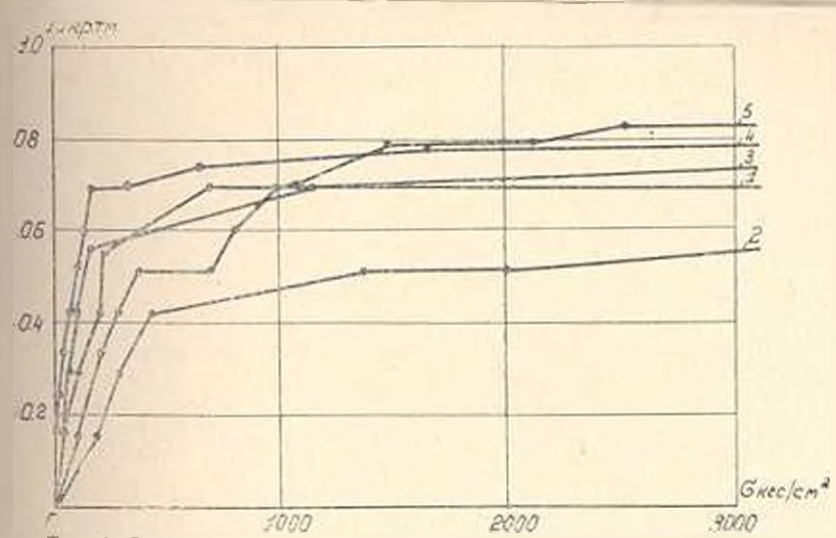


Рис. 2. Зависимость между крутящими и оментами и напряжениями в хомутах при изгибе с кручением.

7 - Балка БПН — 6 при 2 0,3; 2 — Билиа БПН — 7 при 2 0,2;

J — Балка БПН — 8 при z = 0.35; 4 — Балка БПН — 9 при z = 0.4;

5 — Балка БПН — 10 при z = 0,5.

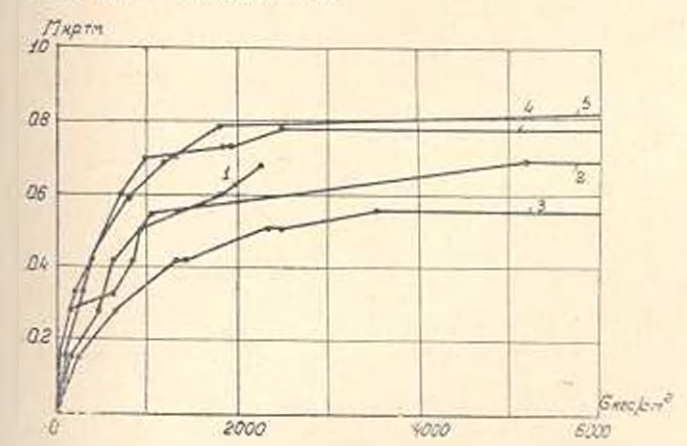


Рис. 3. Зависимость между крутицими моментами и попряженнями в продоленой арматура.

7 - Бадка БПН — 5 при з = ∞; 2 - Бадка БПН — 6 при з = 0,3;

3 - Белка БПН 7 при и 0,2: 4 - Белка БПН - 9 при и 0,4;

5- Балка БПН - 10 при 2 0,5.

матуре. Несколько иной была картина и балках БПН — 6 и БПН — 7, где велична крутящего момента была меньше (x = 0,2+0,3). Здесь наблю-далось плавное возрастание напряжений в продольной арматуре. Во асех пяти балках, испытанных на изгиб с кручением, в стадии их разрушения напряжения в продольной и поперечной арматуре достигали предела техучести.

Данные, припеденные в последних трех графах табл. 1, графически представлены на рис. 4. На этом рисунке кривая построена с изпользованием дапных [1] по формуле:

$$\left(\frac{M_{\mathrm{KP}}}{M_{\mathrm{KP},\mathrm{P},\mathrm{P}}}\right)^2 + \left(\frac{M_{\mathrm{K},\mathrm{P},\mathrm{P}}}{M_{\mathrm{K},\mathrm{P},\mathrm{P}}}\right) = 1$$

где  $M_{\text{кр. р.}}$  — разрушающий крутящий момент при отсутствии изгибающий момент при отсутствии кручения;

 $M_{\text{гр.}}$ ,  $M_{\text{п.}}$ — соответственно величины крутящих и изгибающих моментов, при совместном действии которых происходит разрушение балок.

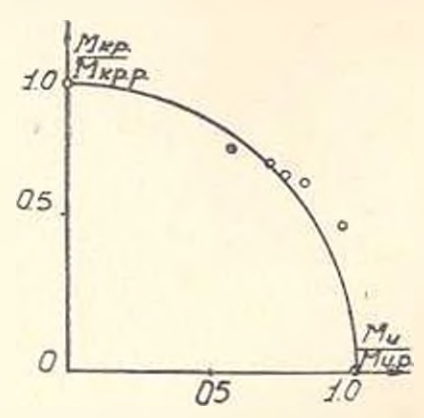


Рис. 4. График зависимости между разрушающими аругищими и изгибающими моментами.

Резюмируя изложенное, отметим, что по результатам испытаний предварительное напряжение существенно повышает трещиностойкость балок, работающих на кручение и на изгиб с кручением. Несущая способность предварительно напряженных балок при кручении оказалась в среднем на 30% выше несущей способности аналогичных ненапряженных балок. При совместном действии изгиба и кручения, в случае, когда х находился и пределах 0,2 0,5, напряжения в продольной и поперечной арматуре в стадии разрушения достигали предела текучести. В этом случае увеличения несущей способности в предварительно напряженных балках, по сравнению с ранее испытанными [1] ненапряженными балками, не наблюдалось.

#### АИСМ.

Ереванский политехпический киститут

Поступило 25.1Х.1969.

## ЛИТЕРАТУРА

- Белубекян А. В. Экспериментальное исследование посущей способности балок излегкого железобстоил при совместном действии изгиба и кручения. "Известия АН АрмССР (серия Т. Н.)", т. XXI, № 5, 1968.
- 2. Белубенян А. В. К вопросу сопротивления бетопных и железобетовных балок при пручении. "Известия АН АрмССР (серия Т. Н.)", г. XXII, № 2, 1969.